

**ФИЗИКА ЭЛЕМЕНТАРНЫХ ЧАСТИЦ И АТОМНОГО ЯДРА**  
2016. Т. 47. Вып. 4

**НИЗКОЭНЕРГЕТИЧЕСКИЕ ПРОЦЕССЫ  
РОЖДЕНИЯ МЕЗОНОВ В РАСШИРЕННОЙ  
МОДЕЛИ НАМБУ–ИОНА–ЛАЗИНИО**

*M. K. Volkov\*, A. B. Arbusov*

Объединенный институт ядерных исследований, Дубна

<b>ВВЕДЕНИЕ</b>	<b>913</b>
<b>ЛАГРАНЖИАН КВАРК-МЕЗОННЫХ ВЗАИМОДЕЙСТВИЙ</b>	<b>914</b>
<b>НИЗКОЭНЕРГЕТИЧЕСКИЕ ПРОЦЕССЫ РОЖДЕНИЯ МЕЗОНОВ НА ВСТРЕЧНЫХ ЭЛЕКТРОН-ПОЗИТРОННЫХ ПУЧКАХ</b>	<b>919</b>
<b>ЗАКЛЮЧЕНИЕ</b>	<b>937</b>
<b>СПИСОК ЛИТЕРАТУРЫ</b>	<b>938</b>

---

\*E-mail: volkov@theor.jinr.ru

НИЗКОЭНЕРГЕТИЧЕСКИЕ ПРОЦЕССЫ  
РОЖДЕНИЯ МЕЗОНОВ В РАСШИРЕНОЙ  
МОДЕЛИ НАМБУ–ИОНА–ЛАЗИНИО

*M. K. Volkov<sup>\*</sup>, A. B. Arbusov*

Объединенный институт ядерных исследований, Дубна

В рамках расширенной модели Намбу–Иона–Лазинио описаны процессы рождения мезонов на встречных электрон–позитронных пучках при низких энергиях. Показано, что в этих процессах важную роль играют промежуточные векторные мезоны как в основном, так и в первом радиально–возбужденном состояниях. Полученные результаты находятся в удовлетворительном согласии с существующими экспериментальными данными. Также даны теоретические предсказания для ряда процессов, которые могут быть проверены экспериментально в ближайшем будущем.

In the framework of the extended Nambu–Jona-Lasinio model, low-energy processes of meson production in electron–positron collisions are described. It is shown that in these processes intermediate vector mesons, both in the ground and in the first radial-excited states, play an important role. Our results are in satisfactory agreement with the existing experimental data. A set of theoretical predictions, which can be tested experimentally in the nearest future, is given.

PACS: 12.39.Fe; 13.66.Bc; 13.35.Dx; 14.40.Be

*Посвящается памяти нашего товарища и соавтора профессора Эдуарда Алексеевича Кураева*

**ВВЕДЕНИЕ**

При описании процессов взаимодействия адронов при энергии ниже значения 2 ГэВ, к сожалению, невозможно использовать стандартную теорию возмущений КХД. Поэтому здесь используются различные феноменологические модели, как правило, основанные на киральной симметрии сильных

---

\*E-mail: volkov@theor.jinr.ru

взаимодействий. Одной из наиболее известных и успешных моделей такого типа является киральная кварковая модель Намбу–Иона–Лазинио (НИЛ) [1–5]. В этой модели получено хорошее описание спектра масс четырех нонетов (скалярных, псевдоскалярных, векторных и аксиально-векторных) мезонов, а также их сильные, слабые и электромагнитные взаимодействия при низких энергиях. В частности, удалось получить удовлетворительное описание почти всех основных распадов этих мезонов.

Однако для описания целого ряда процессов при значениях энергии до 2 ГэВ необходимо учитывать промежуточные мезоны не только в основном, но и в радиально-возбужденных состояниях. Особо важную роль здесь играют первые радиально-возбужденные состояния мезонов. Для описания возбужденных состояний мезонов не удается ограничиться локальным приближением модели НИЛ. Поэтому вводится нелокальная форма взаимодействия с помощью простейшего формфактора полиномиального типа по импульсу кварка. В отличие от многих других феноменологических моделей, используемых для описания низкоэнергетической физики сильных взаимодействий, наш вариант расширенной модели НИЛ содержит минимальное количество произвольных параметров.

В рамках расширенной модели НИЛ удается описать спектр масс четырех названных выше нонетов мезонов как в основном, так и в первом радиально-возбужденном состоянии, распады с участием радиально-возбужденных мезонов. В данной работе основное внимание будет уделено описанию процессов рождения мезонов на встречных электрон-позитронных пучках. В этих процессах важную роль играет учет промежуточных мезонов как в основном, так и в первом радиально-возбужденном состоянии. Теоретическое описание этих процессов в настоящее время важно ввиду проведения ряда экспериментов на ускорителях промежуточных энергий, таких как ВЭПП-2000 (Новосибирск), BEPC-II (Пекин), Belle (KEK, Япония), BaBar (SLAC, США), DAFNE (Фраскати) и др.

## 1. ЛАГРАНЖИАН КВАРК-МЕЗОННЫХ ВЗАЙМОДЕЙСТВИЙ

**1.1. Формфакторы для первых радиально-возбужденных состояний мезонов.** Для учета радиально-возбужденных состояний мезонов необходимо рассмотреть расширенную нелокальную версию модели НИЛ [6–10]. Для описания первых радиально-возбужденных состояний достаточно ограничиться простейшим видом формфактора в виде полинома второй степени по попечному импульсу кварка. В импульсном пространстве он имеет вид

$$\begin{aligned} F_{l,a}(k_\perp) &\equiv c_{l,a} f_a(k_\perp), \quad l = \sigma, \varphi, V, A, \quad a = 1, \dots, 9, \\ f_a(k_\perp) &= 1 + d_a |k_\perp|^2, \quad k_\perp = k - \frac{kP}{P^2} P, \end{aligned} \tag{1}$$

где  $k$  — относительный импульс夸克ов;  $P$  — импульс мезона. Индекс  $l$  показывает сорт мезона (скалярный, псевдоскалярный, векторный или аксиально-векторный), индекс  $a$  соответствует члену мезонного нонета. В системе покоя мезона  $|k_\perp|^2 = k^2$ . Параметр  $c_{l,a}$  естественным образом объединяется с константой четырех夸кового взаимодействия и влияет только на значения масс мезонов [9]. Взаимодействие мезонов с夸克ами определяется формфактором  $f_a(k_\perp)$ . Параметр наклона  $d_a$  однозначно определяется требованием равенства нулю вкладов возбужденных состояний в значения夸кового конденсата и масс составляющих夸克ов. Это соответствует условию, что夸ковая петля с одной вершиной с одним формфактором должна равняться нулю:

$$I_1^f = -iN_c \int \frac{d^4k}{(2\pi)^4} \frac{f_a(k_\perp)}{m_q^2 - k^2} \Theta(\Lambda_3^2 - \mathbf{k}^2) = 0, \quad (2)$$

где  $N_c = 3$  — число цветов;  $\Lambda_3 = 1,03$  ГэВ — универсальный параметр ультрафиолетового обрезания по импульсу夸克ов в петлевых интегралах. В этой работе мы ограничимся использованием только двух значений параметра наклона  $d_a$ , соответствующих участию в процессе либо только легких  $u$ - и  $d$ -夸克ов, либо только  $s$ -夸克ов. Соответствующие формфакторы будем обозначать далее  $f_u(k_\perp)$  и  $f_s(k_\perp)$ . Значения масс составляющих легких夸克ов зафиксированы в модели:  $m_u = m_d = 280$  МэВ и  $m_s = 405$  МэВ. Соответствующие значения параметров наклона формфакторов равны  $d_u = -1,78$  ГэВ $^{-2}$  для легких夸克ов и  $d_s = -1,73$  ГэВ $^{-2}$  для  $s$ -夸колов.

Рассмотрим случай  $U(3) \times U(3)$  версии расширенной модели НИЛ. После стандартной процедуры бозонизации четырех夸кового взаимодействия (детали см. в обзоре [9]) получается следующий лагранжиан:

$$\begin{aligned} L(\bar{q}, q; \sigma, \varphi, V, A) = & - \sum_{a,b=1}^9 \frac{1}{2} \left( (M_{\sigma_1}^{ab})^2 \sigma_1^a \sigma_1^b + (M_{\varphi_1}^{ab})^2 \varphi_1^a \varphi_1^b \right) + \\ & + \sum_{a=1}^9 \left[ -\frac{(M_{V_1}^a)^2}{2} \left( (V_1^{a,\mu})^2 + (A_1^{a,\mu})^2 \right) + \frac{(M_{\sigma_2}^a)^2}{2} (\sigma_2^a)^2 + \frac{(M_{\varphi_2}^a)^2}{2} (\varphi_2^a)^2 - \right. \\ & \quad \left. - \frac{(M_{V_2}^a)^2}{2} (V_2^{a,\mu})^2 - \frac{(M_{A_2}^a)^2}{2} (A_2^{a,\mu})^2 \right] + \\ & + \bar{q} \left[ k_\mu \gamma_\mu - m + \sum_{a=1}^9 \tau^a (\sigma_1^a + \varphi_1^a + V_{1,\mu}^a + A_{1,\mu}^a + \sigma_2^a f_a(k_\perp) + \right. \\ & \quad \left. + \varphi_2^a f_a(k_\perp) + V_{2,\mu}^a f_a \gamma^\mu + A_{2,\mu}^a f_a \gamma^5 \gamma^\mu) \right] q, \quad (3) \end{aligned}$$

где  $\sigma_i^a$ ,  $\varphi_i^a$ ,  $V_{i,\mu}^a$  и  $A_{i,\mu}^a$  — нонеты ( $i = 1, \dots, 9$ ) скалярных, псевдоскалярных, векторных и аксиально-векторных мезонов соответственно. Индекс  $i$  обозна-

чает основное ( $i = 1$ ) и первое радиально-возбужденное ( $i = 2$ ) состояния. Здесь  $m = \text{diag}(m_u, m_d, m_s)$  — диагональная матрица масс составляющих кварков, которые возникли после спонтанного нарушения киральной симметрии. Соответственно,  $\bar{q} = (\bar{u}, \bar{d}, \bar{s})$ . Массы  $M_i$  являются массами бозонов без учета вкладов кварковых петель. Матрицы  $\tau^a$  в интервале  $a = 1, \dots, 7$  совпадают со стандартными матрицами Гелл-Манна  $\lambda_{1,\dots,7}$ . В то же время

$$\begin{aligned}\tau_8 &= (\lambda_0 + \lambda_8)/\sqrt{3} = \text{diag}(1, 1, 0), \\ \tau_9 &= (-\lambda_0 + \sqrt{2}\lambda_8)/\sqrt{3} = \text{diag}(0, 0, -\sqrt{2}).\end{aligned}\quad (4)$$

**1.2. Определение свободного лагранжиана физических полей.** Процедуру получения свободного лагранжиана для физических полей покажем на примере  $\rho^0$ -мезонов (детали см. в работах [7, 9]). В однопетлевом приближении по кварковым петлям для свободного лагранжиана векторных полей получаем

$$\begin{aligned}L^{(2)}(\rho^0) &= -\frac{1}{2} \left( g^{\mu\nu} p^2 - p^\mu p^\nu \right) \left[ \rho_1^\mu \rho_1^\nu + 2R_\rho \rho_1^\mu \rho_2^\nu + \rho_2^\mu \rho_2^\nu \right] + \\ &\quad + \frac{M_{\rho_1}^2}{2} (\rho_1^\mu)^2 + \frac{M_{\rho_2}^2}{2} (\rho_2^\mu)^2, \\ R_\rho &= \frac{I_2^{(1)}(m_u)}{\sqrt{I_2^{(0)}(m_u) I_2^{(2)}(m_u)}} \approx 0,545,\end{aligned}\quad (5)$$

где  $\rho_{1,2}^\mu = V_{1,2}^{3,\mu}$  — нефизические поля нейтральных  $\rho$ -мезонов. Петлевые кварковые интегралы определяются общей формулой

$$I_n^{(l)}(m) = -iN_c \int \frac{d^4 k}{(2\pi)^4} \frac{f^l(k_\perp^2)}{(k^2 - m^2 + i0)^n} \Theta(\Lambda_3^2 - \mathbf{k}^2), \quad l = 0, 1, 2. \quad (6)$$

Приведем используемые ниже значения интегралов  $I_2$  с различным числом формфакторов:

$$\begin{aligned}I_2^{(0)}(m_u) &\approx 0,0398, \quad I_2^{(1)}(m_u) \approx 0,0135, \quad I_2^{(2)}(m_u) \approx 0,0154, \\ I_2^{(0)}(m_s) &\approx 0,0278, \quad I_2^{(1)}(m_s) \approx 0,0084, \quad I_2^{(2)}(m_s) \approx 0,090.\end{aligned}\quad (7)$$

Учет кварковых петель привел к перенормировке масс бозонов:

$$M_{\rho_1}^2 = \frac{g_{\rho_1}^2}{4} (M_{V_1}^3)^2, \quad M_{\rho_2}^2 = \frac{g_{\rho_2}^2}{4} (M_{V_2}^3)^2. \quad (8)$$

Константы  $g_{\rho_1} = \sqrt{3}/\sqrt{2I_2^{(0)}(m_u)}$  и  $g_{\rho_2} = \sqrt{3}/\sqrt{2I_2^{(2)}(m_u)}$  являются константами перенормировки векторных полей.

Диагонализация лагранжиана (5) достигается преобразованием к физическим полям  $\rho$  и  $\rho' \equiv \rho(1450)$  в основном и первом радиально-возбужденном состояниях соответственно:

$$\begin{aligned}\rho_1 &= \frac{\sin(\beta + \beta_0)\rho - \cos(\beta + \beta_0)\rho'}{\sin(2\beta_0)}, \\ \rho_2 &= \frac{\sin(\beta - \beta_0)\rho - \cos(\beta - \beta_0)\rho'}{\sin(2\beta_0)}.\end{aligned}\quad (9)$$

Обратим внимание, что данные преобразования пионных полей носят неунитарный характер, поскольку помимо поворота они содержат и сжатие, связанное с перенормировкой. Углы смешивания находятся из соотношений

$$\begin{aligned}\sin \beta_0 &= \sqrt{\frac{1+R_\rho}{2}} \Rightarrow \beta_0 \approx 61,5^\circ, \\ \operatorname{tg}(2\beta - \pi) &= \sqrt{\frac{1}{R_\rho^2} - 1} \left[ \frac{M_{\rho_1}^2 - M_{\rho_2}^2}{M_{\rho_1}^2 + M_{\rho_2}^2} \right].\end{aligned}\quad (10)$$

Массы нефизических  $\rho$ -мезонов  $M_{\rho_1}$  и  $M_{\rho_2}$  связаны с массами физических  $\rho$ -мезонов следующим соотношением:

$$M_{1,2}^2 = \frac{1-R_\rho^2}{2} \left[ M_\rho^2 + M_{\rho'}^2(-,+) \sqrt{\left( M_\rho^2 + M_{\rho'}^2 \right)^2 - \frac{4M_\rho^2 M_{\rho'}^2}{1-R_\rho^2}} \right]. \quad (11)$$

Используя современные экспериментальные данные для масс  $\rho(770)$  и  $\rho'(1450)$ , получаем  $\beta \approx 81,8^\circ$ .

После диагонализации лагранжиана (5) получаем стандартный вид свободного лагранжиана для физических полей:

$$L^{(2)}(\rho, \rho') = -\frac{1}{2}(g^{\mu\nu}p^2 - p^\mu p^\nu)[\rho^\mu \rho^\nu + \rho'^\mu \rho'^\nu] + \frac{M_\rho^2}{2}(\rho^\mu)^2 + \frac{M_{\rho'}^2}{2}(\rho'^\mu)^2. \quad (12)$$

**1.3. Кварк-мезонный лагранжиан для физических полей.** После проведения подобных преобразований для псевдоскалярных и оставшихся векторных полей получаем следующий лагранжиан кварк-мезонного взаимодействия:

$$\begin{aligned}L(\text{meson}, q) = \bar{q}(p') &\left[ A_\pi \gamma_5 \sum_{a=1}^3 \tau^a \pi^a(k) - A_{\pi'} \gamma_5 \sum_{a=1}^3 \tau^a (\pi')^a(k) + \right. \\ &+ A_\rho \sum_{a=1}^3 \tau^a \hat{\rho}^a(k) + A_\omega \tau^8 \hat{\omega}(k) + A_\phi \tau^9 \hat{\phi}(k) - A_{\rho'} \sum_{a=1}^3 \tau^a (\hat{\rho}')^a(k) - \\ &\left. - A_{\omega'} \tau^8 \hat{\omega}'(k) - A_{\phi'} \tau^9 \hat{\phi}'(k) \right] q(p), \quad (13)\end{aligned}$$

---


$$\begin{aligned}
A_\pi &= g_{\pi_1} \frac{\sin(\alpha + \alpha_0)}{\sin(2\alpha_0)} + g_{\pi_2} f(k_\perp^2) \frac{\sin(\alpha - \alpha_0)}{\sin(2\alpha_0)}, \\
A_{\pi'} &= g_{\pi_1} \frac{\cos(\alpha + \alpha_0)}{\sin(2\alpha_0)} + g_{\pi_2} f(k_\perp^2) \frac{\cos(\alpha - \alpha_0)}{\sin(2\alpha_0)}, \\
A_\rho = A_\omega &= \frac{g_{\rho_1}}{2} \frac{\sin(\beta^u + \beta_0^u)}{\sin(2\beta_0^u)} + \frac{g_{\rho_2}}{2} f(k_\perp^2) \frac{\sin(\beta^u - \beta_0^u)}{\sin(2\beta_0^u)}, \\
A_{\rho'} = A_{\omega'} &= \frac{g_{\rho_1}}{2} \frac{\cos(\beta^u + \beta_0^u)}{\sin(2\beta_0^u)} + \frac{g_{\rho_2}}{2} f(k_\perp^2) \frac{\cos(\beta^u - \beta_0^u)}{\sin(2\beta_0^u)}, \\
A_\phi &= \frac{g_{\phi_1}}{2} \frac{\sin(\beta^s + \beta_0^s)}{\sin(2\beta_0^s)} + \frac{g_{\phi_2}}{2} f(k_\perp^2) \frac{\sin(\beta^s - \beta_0^s)}{\sin(2\beta_0^s)}, \\
A_{\phi'} &= \frac{g_{\phi_1}}{2} \frac{\cos(\beta^s + \beta_0^s)}{\sin(2\beta_0^s)} + \frac{g_{\phi_2}}{2} f(k_\perp^2) \frac{\cos(\beta^s - \beta_0^s)}{\sin(2\beta_0^s)}, \\
k &= p' - p, \quad \hat{V} \equiv V^\mu \gamma_\mu, \quad \beta^u = \beta, \quad \beta_0^u = \beta_0.
\end{aligned} \tag{14}$$

Углы смешивания возбужденных и невозбужденных пионов  $\alpha_0 \approx 59,12^\circ$  и  $\alpha \approx 59,48^\circ$  получены в работах [7, 8]. Соответствующие углы для  $\phi$ -мезонов равны  $\beta_0^s \approx 57,13^\circ$  и  $\beta^s \approx 68,4^\circ$ . Константы  $g_{\phi_1} = \sqrt{3}/\sqrt{2I_2^{(0)}(m_s)}$  и  $g_{\phi_2} = \sqrt{3}/\sqrt{2I_2^{(2)}(m_s)}$  вычисляются аналогично константам взаимодействия  $\rho$ -мезонов, только с заменой  $m_u$  на  $m_s$  и, соответственно, параметра наклона формфактора  $d_u$  на  $d_s$ . Константы  $g_{\pi_1} = 1/\sqrt{4ZI_2^{(0)}(m_u)}$  и  $g_{\pi_2} = 1/\sqrt{4I_2^{(2)}(m_u)}$  являются константами перенормировки пионных полей. Константа  $Z$  возникла после учета переходов  $\pi - a_1$ , что приводит к дополнительной перенормировке псевдоскалярных мезонов [3]

$$Z = 1 - \frac{6m_u^2}{M_{a_1}^2}, \tag{15}$$

где  $M_{a_1} = 1230$  МэВ — масса аксиально-векторного  $a_1$ -мезона.

В лагранжиан (13) могут быть включены странные  $K$ -мезоны и изоскалярные  $\eta$ -мезоны. В этой работе  $K$ -мезоны мы рассматривать не будем. А введение физических псевдоскалярных изоскалярных полей требует учета смешивания как минимум четырех различных состояний:  $\eta(550)$ ,  $\eta'(958)$ ,  $\eta(1295)$  и  $\eta(1475)$ , которые обозначаются ниже как  $\eta$ ,  $\eta'$ ,  $\hat{\eta}$  и  $\hat{\eta}'$  соответственно. Последние два рассматриваются как первые радиально-возбужденные состояния  $\eta$ - и  $\eta'$ -мезонов. Это смешивание осуществляет диагонализацию физических состояний  $\eta$ -мезонов подобно тому, как сделано выше для  $\rho$ -мезонов. Соответствующая матрица смешивания получена в работе [11] (таблица). Эта матрица позволяет описать взаимодействия физических  $\eta$ -мезонов с кварками через известные в данной модели взаимодействия нефизических

**Коэффициенты матрицы смещивания для  $\eta$ -мезонов**

$b_\eta^\varphi$	$\eta$	$\hat{\eta}$	$\eta'$	$\hat{\eta}'$
$\varphi_1^8$	0,71	0,62	-0,32	0,56
$\varphi_2^8$	0,11	-0,87	-0,48	-0,54
$\varphi_1^9$	0,62	0,19	0,56	-0,67
$\varphi_2^9$	0,06	-0,66	0,30	0,82

мезонов ( $\varphi_{1,2}^{8,9}$ ):

$$L_{\text{int}}(\eta, q) = \bar{q}(p') \left( i\gamma_5 \sum_{j=8,9} \tau^j \sum_{\tilde{\eta}=\eta, \eta', \hat{\eta}, \hat{\eta}'} A_{\tilde{\eta}}^j \tilde{\eta}(k) \right) q(p), \quad (16)$$

$$A_{\eta, \hat{\eta}, \eta', \hat{\eta}'}^j = g_{j,1} b_{\varphi_1^j}^{\eta, \hat{\eta}, \eta', \hat{\eta}'} + g_{j,2} b_{\varphi_2^j}^{\eta, \hat{\eta}, \eta', \hat{\eta}'} f_j(k_\perp^2),$$

где  $g_{8,1} = g_{\pi_1}$ ,  $g_{8,2} = g_{\pi_2}$ . Константы  $g_{9,1}$  и  $g_{9,2}$  определяются так же, как и  $g_{\pi_1}$  и  $g_{\pi_2}$  с заменами  $m_u$  на  $m_s$  и формфактора  $f_u$  на  $f_s$ . Коэффициенты  $b_{\eta, \hat{\eta}, \eta', \hat{\eta}'}^{\varphi_{1,2}^j}$  являются элементами матрицы смещивания из таблицы. Например, взаимодействие мезона  $\eta(550)$  с кварками имеет вид

$$L_{\text{int}}(\eta(550), q) = (\bar{u}, \bar{d}, \bar{s}) i\gamma_5 \left[ \tau^8 \left( g_{\pi_1} b_\eta^{\varphi_1^8} + g_{\pi_2} b_\eta^{\varphi_2^8} f_u(k_\perp^2) \right) + \right. \\ \left. + \tau^8 \left( g_{\phi_1} b_\eta^{\varphi_1^9} + g_{\phi_2} b_\eta^{\varphi_2^9} f_s(k_\perp^2) \right) \right] \begin{pmatrix} u \\ d \\ s \end{pmatrix}. \quad (17)$$

## 2. НИЗКОЭНЕРГЕТИЧЕСКИЕ ПРОЦЕССЫ РОЖДЕНИЯ МЕЗОНОВ НА ВСТРЕЧНЫХ ЭЛЕКТРОН-ПОЗИТРОННЫХ ПУЧКАХ

**2.1. Процесс  $e^+e^- \rightarrow \pi^0(\pi^0')\gamma$ .** В этом разделе мы рассмотрим процессы аннигиляции  $e^+e^-$  в пары  $\pi^0\gamma$  или  $\pi^0(1300)\gamma$  при значениях энергии в системе центра масс до 2 ГэВ, следя работе [12]. В этих реакциях заметную роль играют промежуточные векторные мезоны в основном состоянии  $\rho^0$ ,  $\omega$ ,  $\phi$ , а также возбужденные мезоны  $\rho'(1450)$  и  $\omega'(1420)$ . Вклад промежуточного возбужденного мезона  $\phi'(1680)$  не будет рассмотрен из-за того, что он подавлен фазовым объемом и малой вероятностью перехода в состояния из легких  $u$ - и  $d$ -кварков. Рассматриваемые процессы подавлены дополнительным фактором  $\alpha \approx 1/137$  относительно процессов аннигиляции с рождением только адронов. Однако сечение процесса  $e^+ + e^- \rightarrow \pi^0 + \gamma$  измерено с довольно высокой точностью в эксперименте [13–15] при значениях

энергии до 1 ГэВ. Современные эксперименты на коллайдерах ВЭПП-2000 (Новосибирск) и BES-III (Пекин) накапливают значительный объем данных по различным каналам аннигиляции, включая и случаи рождения радиально-возбужденного мезона  $\pi'(1300)$ .

Процесс  $e^+ + e^- \rightarrow \pi^0 + \gamma$  описывается диаграммами Фейнмана (рис. 1–3). Соответствующая амплитуда имеет вид

$$T^\lambda = \bar{e} \gamma_\mu e \varepsilon_{\mu\lambda\alpha\beta} \frac{p_\pi^\alpha p_\gamma^\beta m_u}{s} \{ B_\gamma + B_{\rho+\omega+\phi} + B_{\rho'+\omega'} \}, \quad (18)$$

где  $s = (p_1(e^+) + p_2(e^-))^2$ . Вклад амплитуды с фотонным обменом (рис. 1) пропорционален интегралу по треугольной кварковой петле:

$$B_\gamma = 2V_{\gamma^*\pi^0\gamma}(s), \quad V_{\gamma^*\pi^0\gamma} = g_{\pi_1} I_0^{(3)}(m_u). \quad (19)$$

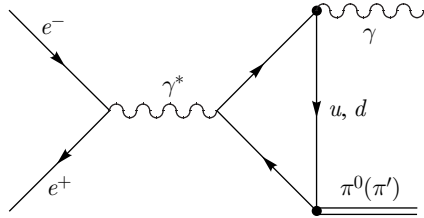


Рис. 1. Диаграмма Фейнмана с рождением  $\pi^0\gamma$  через промежуточный фотон

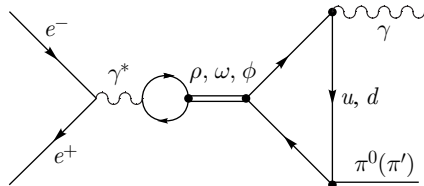


Рис. 2. Диаграмма Фейнмана с рождением  $\pi^0\gamma$  через промежуточные  $\rho^0$ -,  $\omega$ - и  $\phi$ -мезоны

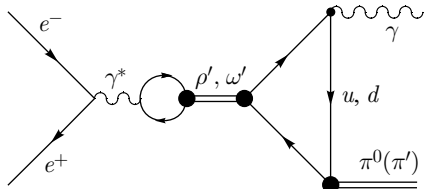


Рис. 3. Диаграмма Фейнмана с рождением  $\pi^0\gamma$  через возбужденные промежуточные  $\rho'$ - и  $\omega'$ -мезоны

Нетрудно видеть, что в лагранжиане (13) компонента основного состояния пиона, содержащая формфактор, умножается на синус разности углов  $\alpha - \alpha_0 \approx 0,36^\circ$ . Поэтому в дальнейшем мы будем пренебречь этой компонентой.

Сумма вкладов основных состояний промежуточных векторных мезонов  $\rho$ ,  $\omega$  и  $\phi$  (рис. 2) имеет вид

$$\begin{aligned} B_{\rho+\omega+\phi} = \\ = \left\{ \frac{\gamma\rho s}{s - M_\rho^2 + iM_\rho\Gamma_\rho} + \frac{\gamma\omega s}{s - M_\omega^2 + iM_\omega\Gamma_\omega} + \frac{\gamma\phi s\sqrt{2}\sin\theta_{\omega\phi}}{s - M_\phi^2 + iM_\phi\Gamma_\phi} \right\} V_{\rho\pi^0\gamma}(s), \end{aligned} \quad (20)$$

где учтены переходы  $\gamma \rightarrow \rho(\omega, \phi)$  через кварковую петлю, дающие множители

$$\begin{aligned} \gamma\rho = \gamma\omega = \frac{1}{g_{\rho_1}} \left\{ \frac{\sin(\beta^u + \beta_0^u)}{\sin(2\beta_0^u)} + R_\rho \frac{\sin(\beta^u - \beta_0^u)}{\sin(2\beta_0^u)} \right\}, \\ \gamma\phi = \frac{1}{g_{\phi_1}} \left\{ \frac{\sin(\beta^s + \beta_0^s)}{\sin(2\beta_0^s)} + R_\phi \frac{\sin(\beta^s - \beta_0^s)}{\sin(2\beta_0^s)} \right\}. \end{aligned} \quad (21)$$

Отметим, что для случая  $\omega$ -мезона относительный фактор  $1/3$  в переходе  $\gamma \rightarrow \omega$  (по сравнению со случаем  $\rho$ -мезона) сокращается с фактором 3 в вершине  $\omega\pi^0\gamma$ . В вершине треугольника с  $\phi$ -мезоном использована лишь компонента этого мезона, содержащая легкие  $u$ - и  $d$ -кварки, что описано фактором  $\sin\theta_{\omega\phi}$  за счет смешивания  $\phi - \omega$ ,  $\theta_{\omega\phi} \approx -3^\circ$  [16].

Вклады возбужденных состояний промежуточных мезонов рассчитываются аналогично:

$$\begin{aligned} B_{\rho'+\omega'} = \left( -\frac{\cos(\beta + \beta_0)}{\sin(2\beta_0)} - R_\rho \frac{\cos(\beta - \beta_0)}{\sin(2\beta_0)} \right) \frac{1}{g_{\rho_1}} \times \\ \times \left\{ \frac{s}{s - M_{\rho'}^2 + iM_{\rho'}\Gamma_{\rho'}} + \frac{s}{s - M_{\omega'}^2 + iM_{\omega'}\Gamma_{\omega'}} \right\} V_{\rho'\pi^0\gamma}(s). \end{aligned} \quad (22)$$

Мы проверили то, что учет зависимости ширин мезонов от энергии для данного процесса не дает заметного изменения результатов. В численных расчетах мы использовали значения из обзора [17]:  $\Gamma_\rho = 146,2$  МэВ,  $\Gamma_\omega = 8,49$  МэВ,  $\Gamma_{\rho'} = 400$  МэВ и  $\Gamma_{\omega'} = 215$  МэВ.

Вершины определяются треугольными кварковыми петлевыми диаграммами аномального типа:

$$\begin{aligned} V_{\rho\pi^0\gamma} &= g_{\pi_1} \left( \frac{\sin(\beta + \beta_0)g_{\rho_1}I_0^{(3)}(m_u)}{\sin(2\beta_0)} + \frac{\sin(\beta - \beta_0)g_{\rho_2}I_1^{(3)}(m_u)}{\sin(2\beta_0)} \right), \\ V_{\rho'\pi^0\gamma} &= -g_{\pi_1} \left( \frac{\cos(\beta + \beta_0)g_{\rho_1}I_0^{(3)}(m_u)}{\sin(2\beta_0)} + \frac{\cos(\beta - \beta_0)g_{\rho_2}I_1^{(3)}(m_u)}{\sin(2\beta_0)} \right). \end{aligned}$$

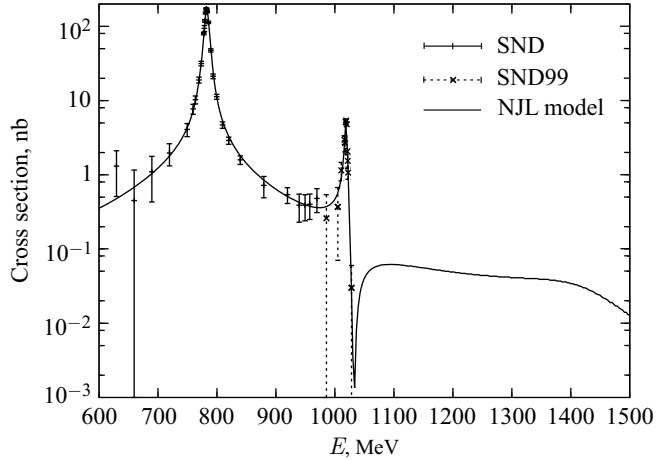


Рис. 4. Сравнение экспериментальных результатов и предсказаний модели НИЛ для зависимости сечения процесса  $e^+e^- \rightarrow \pi^0\gamma$  от энергии

Теперь мы можем оценить полное сечение рассматриваемого процесса:

$$\sigma^{e^+e^- \rightarrow \pi\gamma}(s) = \frac{\alpha^3}{24\pi^2 s^3 f_\pi^2} \lambda^{3/2}(s, 0, M_\pi^2) \frac{1}{g_{\pi_1}^2} |B_\gamma + B_{\rho+\omega+\phi} + B_{\rho'+\omega'}|^2, \quad (23)$$

$$\lambda(s, 0, M_\pi^2) = (s - M_\pi^2)^2.$$

На рис. 4 показаны экспериментальные данные коллаборации СНД (SND) [14, 18] и теоретические предсказания в рамках обсуждаемой модели. Видно, что теоретические предсказания находятся в хорошем согласии с экспериментальными данными. В частности, мы получили значения для сечений в области пиков  $\omega$ - и  $\phi$ -резонансов

$$\sigma^{e^+e^- \rightarrow \pi\gamma}(m_\omega^2) = 177 \text{ нб}, \quad (24)$$

$$\sigma^{e^+e^- \rightarrow \pi\gamma}(m_\phi^2) = 5,5 \text{ нб},$$

находящиеся в удовлетворительном согласии с данными СНД [14, 18].

Аналогичные выражения для амплитуд, описывающих рождение пары  $\pi'(1300)\gamma$ , даны в работе [12]. Отличие от случая рождения  $\pi\gamma$  заключается в том, что при вычислении треугольных кварковых вершин становится необходимым учитывать раздвоение (для учета членов с формфакторами) как векторной вершины, так и вершины с  $\pi'(1300)$ . Соответствующие теоретические предсказания для зависимости сечения этого процесса от энергии приведены на рис. 5, они могут быть проверены в современных экспериментах на  $e^+e^-$ -коллайдерах ВЭПП-2000 (Новосибирск) и ВЕРС-II (Пекин).

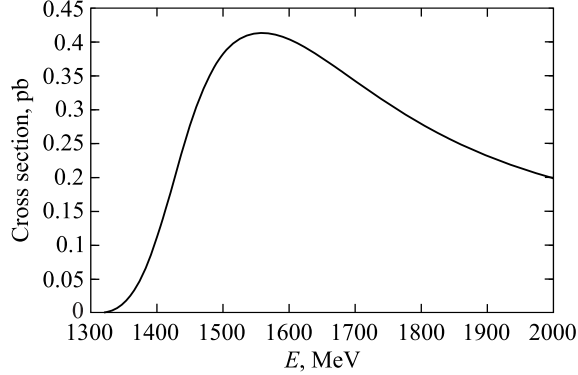


Рис. 5. Предсказания расширенной модели НИЛ для зависимости сечения процесса  $e^+e^- \rightarrow \pi'\gamma$  от энергии

**2.2. Процесс  $e^+e^- \rightarrow \pi^0\omega$ .** Процесс аннигиляции  $e^+e^-$  в пару  $\pi^0\omega$  с последующим распадом  $\omega \rightarrow \pi^0\gamma$  изучался при значениях энергии до 2 ГэВ в ряде экспериментов: DM2 [19], ND [13], SND [20] и CMD-2 [21]. Для теоретического описания этого процесса использовался целый ряд феноменологических моделей, как правило, основанных на принципах киральной симметрии и векторной доминантности. В работе [21] использовалась обобщенная модель векторной доминантности с учетом вкладов промежуточных векторных мезонов  $\rho(770)$ ,  $\rho'(1450)$  и  $\rho''(1700)$ . При этом использовались произвольные свободные параметры, которые фитировались по экспериментальным данным этого же процесса. Ранее процесс распада  $\rho' \rightarrow \omega\pi$  рассматривался в релятивистской обобщенной кварковой модели [22] и в нерелятивистской кварковой модели [23]. В работе [24] описывается изучение процесса  $e^+e^- \rightarrow \omega\pi^0$  при значениях энергии, близких к значениям резонанса  $\phi$ -мезона, а также представлены экспериментальные данные коллаборации KLOE [25]. Здесь мы не будем уделять специальное внимание точке энергии, связанной с резонансом  $\phi$ -мезона, и пренебрежем его вкладом в области значений энергии выше значений массы  $m_\phi$  (и ниже 2 ГэВ). Важно отметить, что в работах [21, 26, 27] на различных моделях показано, что вклад второго радиально-возбужденного состояния  $\rho''(1700)$  в обсуждаемый процесс незначителен. В расширенной модели НИЛ данный процесс описан в работах [28, 29]. В отличие от указанных выше работ нам не требовалось использовать какие-либо дополнительные параметры.

В отличие от описанного выше процесса  $e^+e^- \rightarrow \pi\gamma$  здесь в качестве промежуточных мезонов (наряду с фотоном) будут участвовать только  $\rho^0(770)$  и  $\rho'(1450)$ . Соответствующая амплитуда имеет вид

$$T = \bar{e}\gamma_\mu e \frac{1}{s} \epsilon^{\mu\nu\rho\eta} p_\omega^\nu p_\pi^\eta \{ T_\gamma + T_\rho + T_{\rho'} \} \varepsilon_\lambda(\omega), \quad (25)$$

где  $s = (p_1(e^+) + p_2(e^-))^2 \equiv q^2$ . Вычисления амплитуды полностью аналогичны проведенным в п. 2.1, отличие будет в выражении для треугольной вершины, описывающей рождение пары  $\pi\omega$  вместо  $\pi\gamma$ . В частности, вершина перехода  $\rho \rightarrow \pi\omega$  в расширенной модели НИЛ принимает вид

$$\begin{aligned} V_{\rho\omega\pi} = g_{\pi_1} & \left[ g_{\rho_1} \left( \frac{\sin(\beta + \beta_0)}{\sin(2\beta_0)} \right)^2 I_3(m_u) + \right. \\ & + \frac{g_{\rho_2}^2}{g_{\rho_1}} \left( \frac{\sin(\beta - \beta_0)}{\sin(2\beta_0)} \right)^2 I_3^{ff}(m_u) + \\ & \left. + 2g_{\rho_2} \frac{\sin(\beta + \beta_0)}{\sin(2\beta_0)} \frac{\sin(\beta - \beta_0)}{\sin(2\beta_0)} I_3^f(m_u) \right]. \quad (26) \end{aligned}$$

Большее количество членов в данной вершине связано с учетом членов с формфакторами и в вершине  $\rho$ -мезона, и в вершине  $\omega$ -мезона. Детальное описание остальных вершин можно найти в статье [29]. Полученные амплитуды позволяют получить предсказание для зависимости сечения рассматриваемого процесса от энергии (рис. 6). Видно, что полученные предсказания находятся в удовлетворительном согласии с экспериментальными данными. Особенно хорошее согласие получается при значениях энергии до 1,4 ГэВ. При более высоких значениях энергии для более точного описания следует учитывать вклады от радиально-возбужденных состояний промежуточных векторных мезонов более высокого порядка.

Аналогичные вычисления в рамках расширенной модели НИЛ были проведены для процесса  $e^+ + e^- \rightarrow \pi^0 + \rho^0$  в работе [31].

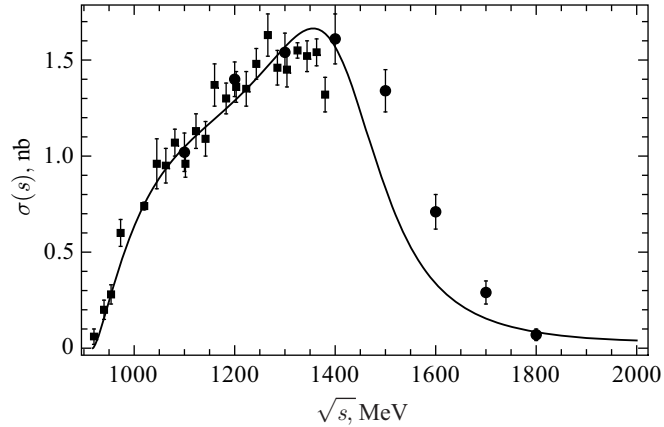


Рис. 6. Сравнение экспериментальных данных SND-2 (квадраты [20] и кружки [30]) для процесса  $e^+e^- \rightarrow \pi\omega$  с предсказаниями расширенной модели НИЛ (сплошная кривая)

**2.3. Процессы**  $e^+e^- \rightarrow \eta(\eta', \eta(1295), \eta(1475))\gamma$ . Процесс электрон-позитронной аннигиляции в пару  $\eta\gamma$  изучался экспериментально на коллайдере ВЭПП-2М (Новосибирск) [32]. Аналогичные процессы с рождением  $\eta'$  и первых радиально-возбужденных состояний  $\eta$ -мезонов будут исследоваться на модернизированном коллайдере ВЭПП-2000. В расширенной модели НИЛ данный процесс описан в работе [33].

Структура амплитуд процессов с рождением пар  $\eta_i\gamma$  очень близка к приведенной в п. 2.1. В ней мы учитываем вклады промежуточного фотона,  $\rho$ -,  $\omega$ - и  $\phi$ -мезонов как в основном, так и в первом радиально-возбужденном состояниях. Здесь особенно важными становятся вклады промежуточных  $\phi$ - и  $\phi'$ -мезонов, поскольку  $\eta$ -мезоны содержат как  $u$ -,  $d$ -, так и  $s$ -кварковые структуры. Амплитуда имеет вид

$$T^\lambda = \bar{e}\gamma^\mu e \frac{p_\eta^\alpha p_\gamma^\beta}{s} \{ T_\gamma + T_{\rho+\omega} + T_\phi + T_{\rho'+\omega'} + T_{\phi'} \} \varepsilon_{\mu\lambda\alpha\beta}, \quad (27)$$

где вклады различных промежуточных состояний описываются выражениями

$$\begin{aligned} T_\gamma &= \frac{2}{3} \left( 5 \frac{16}{3} \pi^2 m_u V_{\gamma u} + \sqrt{2} \frac{16}{3} \pi^2 m_s V_{\gamma s} \right), \\ T_{\rho+\omega} &= \left( \frac{3s}{m_\rho^2 - s - i\sqrt{s}\Gamma_\rho} + \frac{1}{3} \frac{s}{m_\omega^2 - s - i\sqrt{s}\Gamma_\omega} \right) \frac{C_{\gamma\rho}}{g_{\rho_1}} \left( \frac{16}{3} \pi^2 m_u V_\rho \right), \\ T_\phi &= -\frac{2\sqrt{2}}{3} \frac{s}{m_\phi^2 - s - i\sqrt{s}\Gamma_\phi} \frac{C_{\gamma\phi}}{g_{\phi_1}} \left( \frac{16}{3} \pi^2 m_s V_\phi \right), \\ T_{\rho'+\omega'} &= \left( \frac{3s}{m_{\rho'}^2 - s - i\sqrt{s}\Gamma_{\rho'}(s)} + \frac{1}{3} \frac{s}{m_{\omega'}^2 - s - i\sqrt{s}\Gamma_{\omega'}} \right) \times \\ &\quad \times \frac{C_{\gamma\rho'}}{g_{\rho_1}} \left( \frac{16}{3} \pi^2 m_u V_{\rho'} \right) e^{i\pi}, \\ T_{\phi'} &= -\frac{2\sqrt{2}}{3} \frac{s}{m_{\phi'}^2 - s - i\sqrt{s}\Gamma_{\phi'}} \frac{C_{\gamma\phi'}}{g_{\phi_1}} \left( \frac{16}{3} \pi^2 m_s V_{\phi'} \right), \end{aligned} \quad (28)$$

где коэффициенты  $C_{\gamma V}$  обозначают константы перехода виртуального фотона в векторный мезон:

$$\begin{aligned} C_{\gamma V} &= \frac{\sin(\beta^q + \beta_0^q)}{\sin(2\beta_0^q)} + R_V \frac{\sin(\beta^q - \beta_0^q)}{\sin(2\beta_0^q)}, \\ C_{\gamma V'} &= - \left( \frac{\cos(\beta^q + \beta_0^q)}{\sin(2\beta_0^q)} + R_V \frac{\cos(\beta^q - \beta_0^q)}{\sin(2\beta_0^q)} \right). \end{aligned} \quad (29)$$

Значения для вершин берем в приближении малых импульсов:

$$V_{\gamma q}^{\eta, \eta', \hat{\eta}, \hat{\eta}'} = \sum_{i=1,2} b_{\eta, \hat{\eta}, \eta', \hat{\eta}'}^{\varphi_{q,i}} g_{q_i} I_3(m_q), \quad (30)$$

$$\begin{aligned} V_{V_q}^{\eta, \eta', \hat{\eta}, \hat{\eta}'} &= \frac{\sin(\beta^q + \beta_0^q)}{\sin(2\beta_0^q)} b_{\eta, \hat{\eta}, \eta', \hat{\eta}'}^{\varphi_{q,1}} g_{V_1} g_{q_1} I_3(m_q) + \\ &+ \frac{\sin(\beta^q - \beta_0^q)}{\sin(2\beta_0^q)} b_{\eta, \hat{\eta}, \eta', \hat{\eta}'}^{\varphi_{q,1}} g_{V_2} g_{q_1} I_3^f(m_q) + \\ &+ \frac{\sin(\beta^q + \beta_0^q)}{\sin(2\beta_0^q)} b_{\eta, \hat{\eta}, \eta', \hat{\eta}'}^{\varphi_{q,2}} g_{V_1} g_{q_2} I_3^f(m_q) + \\ &+ \frac{\sin(\beta^q - \beta_0^q)}{\sin(2\beta_0^q)} b_{\eta, \hat{\eta}, \eta', \hat{\eta}'}^{\varphi_{q,2}} g_{V_2} g_{q_2} I_3^{f^2}(m_q), \end{aligned} \quad (31)$$

$$\begin{aligned} -V_{V'_q}^{\eta, \eta', \hat{\eta}, \hat{\eta}'} &= \frac{\cos(\beta^q + \beta_0^q)}{\sin(2\beta_0^q)} b_{\eta, \hat{\eta}, \eta', \hat{\eta}'}^{\varphi_{q,1}} g_{V_1} g_{q_1} I_3(m_q) + \\ &+ \frac{\cos(\beta^q - \beta_0^q)}{\sin(2\beta_0^q)} b_{\eta, \hat{\eta}, \eta', \hat{\eta}'}^{\varphi_{q,1}} g_{V_2} g_{q_1} I_3^f(m_q) + \\ &+ \frac{\cos(\beta^q + \beta_0^q)}{\sin(2\beta_0^q)} b_{\eta, \hat{\eta}, \eta', \hat{\eta}'}^{\varphi_{q,2}} g_{V_1} g_{q_2} I_3^f(m_q) + \\ &+ \frac{\cos(\beta^q - \beta_0^q)}{\sin(2\beta_0^q)} b_{\eta, \hat{\eta}, \eta', \hat{\eta}'}^{\varphi_{q,2}} g_{V_2} g_{q_2} I_3^{f^2}(m_q). \end{aligned} \quad (32)$$

Зависимость ширины  $\rho'$ -мезона от энергии можно учесть, используя формулу

$$\begin{aligned} \Gamma_{\rho'}(s) &= \Theta(2m_\pi - \sqrt{s})\Gamma_{\rho' \rightarrow 2\pi} + \\ &+ \Theta(\sqrt{s} - 2m_\pi) \left( \Gamma_{\rho' \rightarrow 2\pi} + \Gamma_{\rho' \rightarrow \omega\pi} \frac{\sqrt{s} - 2m_\pi}{m_\omega - m_\pi} \right) \Theta(m_\omega + m_\pi - \sqrt{s}) + \\ &+ \Theta(m_{\rho'} - \sqrt{s}) \Theta(\sqrt{s} - m_\omega - m_\pi) \left( \Gamma_{\rho' \rightarrow 2\pi} + \Gamma_{\rho' \rightarrow \omega\pi} + \right. \\ &\quad \left. + (\Gamma_{\rho'} - \Gamma_{\rho' \rightarrow 2\pi} - \Gamma_{\rho' \rightarrow \omega\pi}) \frac{\sqrt{s} - m_\omega - m_\pi}{m_{\rho'} - m_\omega - m_\pi} \right) + \Theta(\sqrt{s} - m_{\rho'}) \Gamma_{\rho'}, \end{aligned} \quad (33)$$

где  $\Gamma_{\rho' \rightarrow 2\pi} = 22$  МэВ и  $\Gamma_{\rho' \rightarrow \omega\pi} = 75$  МэВ получены в работе [8], а  $\Gamma_{\rho'} = 400$  МэВ — полная ширина этого мезона. Для ширин возбужденных  $\omega'$ - и  $\phi'$ -мезонов мы используем значения их полных ширин. Это оправдано тем, что их вклады невелики по сравнению с вкладом  $\rho'$ -мезона. Отметим, что вклад  $\phi'$ -мезона заметен только при значениях энергии  $\sqrt{s} > 1,5$  ГэВ.

Формула для полного сечения рассматриваемого процесса имеет вид

$$\sigma(s) = \frac{\alpha}{24\pi^2 s^3} \lambda^{3/2}(s, m, 0) |T|^2, \quad (34)$$

где  $\lambda(a, b, c) = (a - b - c)^2 - 4bc$ ,  $m = m_\eta, m_{\eta'}, m_{\hat{\eta}}, m_{\hat{\eta}'}$ . Результаты численных расчетов приведены на рис. 7–10. На рис. 7 приведено сравнение с экспериментальными данными [32], на графиках (см. рис. 8–10) представлены предсказания расширенной модели НИЛ. По графикам видно, что учет возбужденных состояний очень важен в области значений выше 1 ГэВ. Наши предсказания могут использоваться при определении физической программы дальнейших экспериментальных исследований на современных электрон-позитронных коллайдерах.

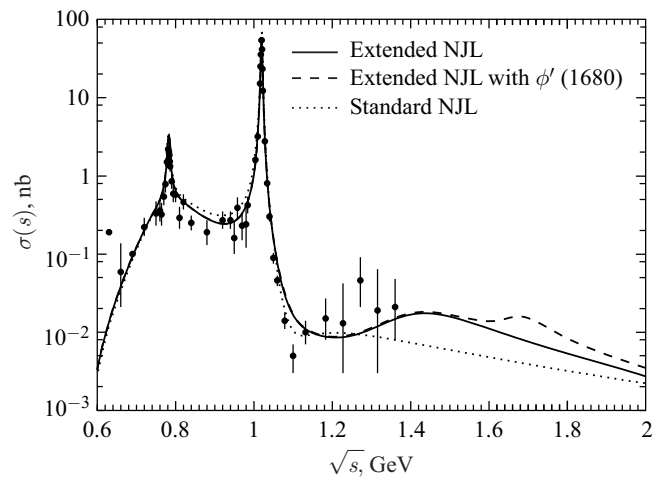


Рис. 7. Сравнение предсказаний модели НИЛ с данными эксперимента [32] для процесса  $e^+e^- \rightarrow \eta\gamma$

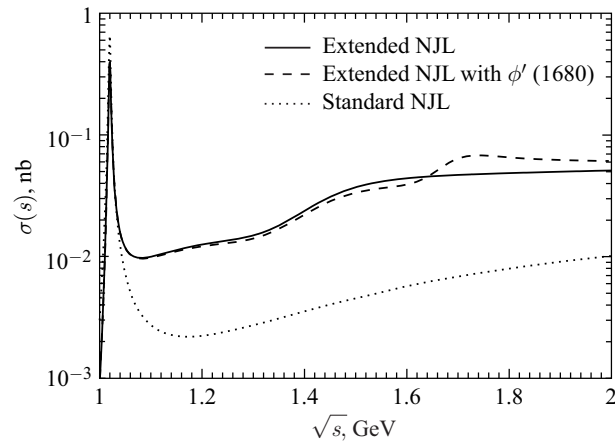
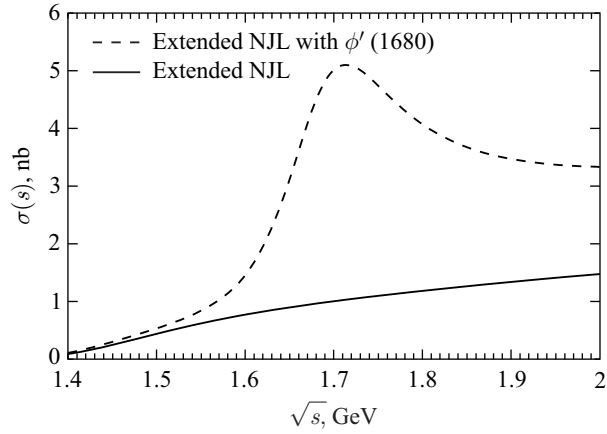
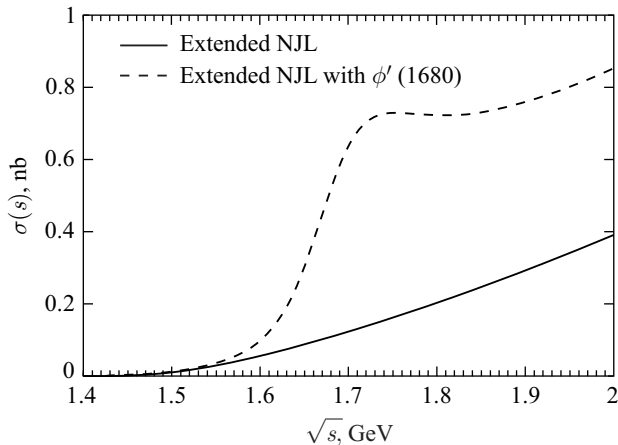


Рис. 8. Предсказания для зависимости сечения процесса  $e^+e^- \rightarrow \eta'\gamma$  от энергии

Рис. 9. Предсказания для зависимости сечения процесса  $e^+e^- \rightarrow \eta(1295)\gamma$  от энергииРис. 10. Предсказания для зависимости сечения процесса  $e^+e^- \rightarrow \eta(1475)\gamma$  от энергии

**2.4. Процесс  $e^+e^- \rightarrow \pi^+\pi^-(\pi\pi')$ .** Процесс аннигиляции  $e^+e^-$  в пару зараженных пионов тщательно изучался как экспериментально [34] (см. также ссылки в этой работе), так и теоретически [35–40]. Однако в большинство теоретических работ приходилось вводить дополнительные произвольные параметры для удовлетворительного описания высокоточных экспериментальных данных. В то же время в расширенной модели НИЛ такое описание может быть получено без введения каких-либо дополнительных произвольных параметров. Это позволяет не только описывать существующие экспе-

риментальные данные, но и делать теоретические предсказания для процесса рождения пары заряженных  $\pi$ - и  $\pi'$ (1300)-мезонов.

Для описания этого процесса при значениях энергии ниже 1 ГэВ достаточно использовать стандартную модель НИЛ с учетом промежуточных состояний фотона,  $\rho$ - и  $\omega$ -мезонов в основных состояниях. Однако при более высоких значениях энергии заметную роль начинает играть промежуточное состояние  $\rho'(1450)$ . В рамках расширенной модели НИЛ учет вкладов первых радиально-возбужденных состояний мезонов для этого процесса был сделан в работе [41].

Амплитуда процесса  $e^+e^- \rightarrow \pi^+\pi^-$  описывается диаграммами, приведенными на рис. 11 и 12, и имеет вид

$$T = \bar{e}\gamma_\mu e \frac{4\pi\alpha}{s} (B_\gamma + B_\rho + B_\omega + B_{\rho'}) f_{a_1}(s) (p_{\pi^+}^\mu - p_{\pi^-}^\mu), \quad (35)$$

где  $\alpha \approx 1/137$ ,  $s = (p_{e^+} + p_{e^-})^2$ , а  $f_{a_1}(s)$  описывает рождение пионов через промежуточные  $a_1$ -мезоны:

$$f_{a_1}(p^2) = \frac{1}{Z} + \left(1 - \frac{1}{Z}\right) + \left(\frac{p^2 - m_\pi^2}{(g_\rho F_\pi)^2}\right) (1 - Z) = 1 + \left(\frac{p^2 - m_\pi^2}{(g_\rho F_\pi)^2}\right) (1 - Z), \quad (36)$$

где  $Z$  — описанный выше перенормировочный множитель, учитывающий переходы  $\pi - a_1$ . Первое слагаемое описывает рождение двух пионов не-

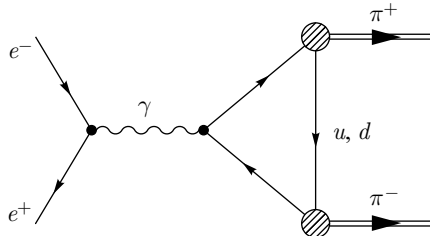


Рис. 11. Контактная диаграмма, описывающая рождение двух пионов промежуточным фотоном

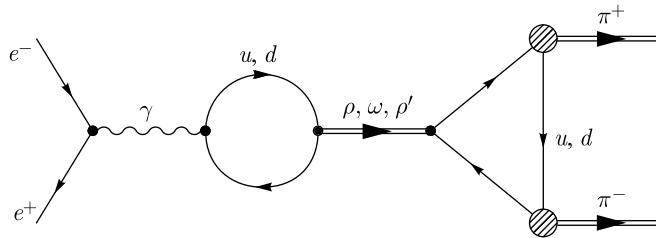


Рис. 12. Процесс  $e^+e^- \rightarrow \pi^+\pi^-$  с учетом промежуточных векторных мезонов

посредственно из кварковой треугольной петли, второе слагаемое соответствует ситуации, когда один из пионов рождается через промежуточный мезон  $a_1(1260)$ , и третье — когда оба пиона рождаются через промежуточные  $a_1$ -мезоны.

Вклад диаграммы с обменом фотоном нормирован на единицу:  $B_\gamma = 1$ . С учетом переходов  $\gamma-\rho$  велична  $B_\rho$  имеет вид

$$B_\rho = \frac{C_{\gamma\rho} C_{\rho\pi\pi}}{g_\rho} \frac{s}{m_\rho^2 - s - i\sqrt{s}\Gamma_\rho(s)}, \quad (37)$$

$$C_{\gamma\rho} = \left( \frac{\sin(\beta + \beta_0)}{\sin(2\beta_0)} + R_\rho \frac{\sin(\beta - \beta_0)}{\sin(2\beta_0)} \right). \quad (38)$$

Вершина  $\rho\pi\pi$  пропорциональна коэффициенту

$$C_{\rho\pi\pi} = \left( \frac{\sin(\beta + \beta_0)}{\sin(2\beta_0)} g_{\rho_1} + \frac{\sin(\beta - \beta_0)}{\sin(2\beta_0)} \frac{I_2^f}{I_2} g_{\rho_2} \right). \quad (39)$$

Для вклада промежуточного  $\omega$ -мезона мы получаем

$$B_\omega = \frac{C(s) C_{\rho\pi\pi} C_{\gamma\rho}}{3g_\rho^2} \frac{s}{m_\omega^2 - s - i\sqrt{s}\Gamma_\omega(s)}, \quad (40)$$

где функция  $C(s) = C_1(s) + C_2(s)$  описывает переход  $\omega$ -мезона в  $\rho$ -мезон с последующим его распадом на два пиона. Функция  $C_1(s)$  учитывает прямой переход в  $\rho$ -мезон за счет разности масс  $u$ - и  $d$ -кварков:

$$C_1(s) = \frac{g_\rho^3 m_\omega^2}{3(m_\rho^2 - s - i\sqrt{s}\Gamma_\rho(s))} \frac{3}{(4\pi)^2} \log \left( \frac{m_d}{m_u} \right)^2. \quad (41)$$

$C_2$  описывает вклад периода  $\omega \rightarrow \gamma \rightarrow \rho$ :

$$C_2(s) = -\frac{4\pi\alpha s}{3g_\rho(m_\rho^2 - s - i\sqrt{s}\Gamma_\rho(s))}. \quad (42)$$

Последняя часть амплитуды с промежуточным  $\rho'$ -мезоном аналогична вкладу основного состояния  $\rho$ -мезона:

$$\begin{aligned} B_{\rho'} &= e^{i\pi} \frac{C_{\gamma\rho'} C_{\rho'\pi\pi}}{g_\rho} \frac{s}{m_{\rho'}^2 - s - i\sqrt{s}\Gamma_{\rho'}(s)}, \\ C_{\gamma\rho'} &= - \left( \frac{\cos(\beta + \beta_0)}{\sin(2\beta_0)} + R_\rho \frac{\cos(\beta - \beta_0)}{\sin(2\beta_0)} \right), \\ C_{\rho'\pi\pi} &= - \left( \frac{\cos(\beta + \beta_0)}{\sin(2\beta_0)} g_{\rho_1} + \frac{\cos(\beta - \beta_0)}{\sin(2\beta_0)} \frac{I_2^f}{I_2} g_{\rho_2} \right) = 1,68. \end{aligned} \quad (43)$$

К сожалению, используемая нами модель не дает возможности определить относительную фазу амплитуд с промежуточными  $\rho$ -мезонами в основном и возбужденном состояниях. Ориентируясь на экспериментальные данные, мы выбрали разность фаз, равную  $e^{i\pi}$ . Учет зависимости ширины  $\Gamma_{\rho'}$  от энергии можно сделать, используя формулу из работы [12].

Для полного сечения мы получаем

$$\sigma(s) = \frac{\alpha^2 \pi}{12s} f_{a_1}^2(s) \left(1 - \frac{4m_\pi^2}{s}\right)^{3/2} |B_\gamma + B_\rho + B_\omega + B_{\rho'}|^2. \quad (44)$$

На рис. 13 видно хорошее согласие наших результатов с экспериментальными данными [34] для процесса  $e^+e^- \rightarrow \pi^+\pi^-$  при значениях энергии до 1 ГэВ.

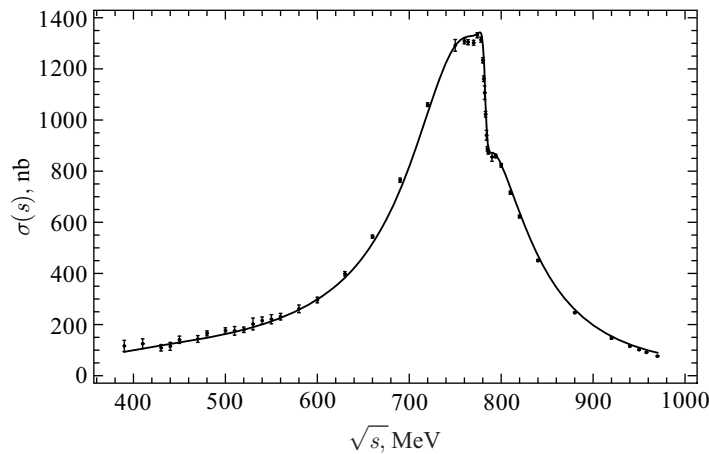


Рис. 13. Сравнение предсказаний модели НИЛ с экспериментальными данными [34] для сечения процесса  $e^+e^- \rightarrow \pi^+\pi^-$

При рассмотрении процесса  $e^+e^- \rightarrow \pi\pi'$  можно пренебречь вкладом диаграмм с промежуточным  $\omega$ -мезоном. Сечение строится аналогично случаю рождения пары  $\pi^+\pi^-$  и имеет вид

$$\sigma(s) = \frac{\alpha^2 \pi}{12s^2} \Lambda^{3/2}(s, m_{\pi'}^2, m_\pi^2) \left| B_\gamma^{\pi\pi'} + B_\rho^{\pi\pi'} + B_{\rho'}^{\pi\pi'} \right|^2. \quad (45)$$

В отличие от предыдущего процесса здесь необходимо учитывать вклад компоненты с формфактором и в вершине с исходящим  $\pi'(1300)$ -мезоном. Результаты для зависимости сечения процесса  $e^+e^- \rightarrow \pi\pi'$  от энергии приведены на рис. 14. Наши результаты для данного процесса являются качественными, поскольку вклад промежуточного состояния второго радиально-возбужденного состояния  $\rho(1700)$  не учтен.

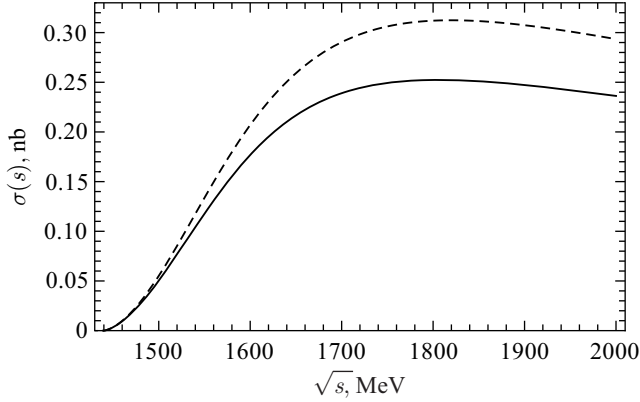


Рис. 14. Предсказания расширенной модели НИЛ для сечения процесса  $e^+e^- \rightarrow \pi\pi'$ . Сплошная линия — полное сечение, штриховая — только вклад  $\rho'(1450)$

## 2.5. Процесс $e^+e^- \rightarrow \eta(\eta')2\pi$ .

В заключение рассмотрим процессы

$$e^+ + e^- \rightarrow \eta(\eta') + \pi^+ + \pi^-,$$

которые также идут через промежуточные  $\rho$ - и  $\rho'$ -мезоны. Эти процессы изучались экспериментально на целом ряде установок: DM1 [42], DM2 [43], ND [13, 44], CMD-2 [45] и BaBar [46]. С теоретической точки зрения они также обсуждались с использованием различных феноменологических моделей [45, 47, 48]. Здесь мы приведем вычисления этих процессов в рамках расширенной модели НИЛ [49] и проведем сравнение с экспериментальными данными и результатами, полученными в указанных выше теоретических работах.

Полная амплитуда рассматриваемого процесса имеет вид

$$T = -\frac{4\pi\alpha}{q^2} \bar{e}\gamma^\mu e \mathcal{H}_\mu, \quad (46)$$

где  $q = p_{e^+} + p_{e^-}$  в системе центра масс. Адронная часть амплитуды содержит вклады промежуточных фотона и векторных  $\rho$ - и  $\rho'$ -мезонов (здесь  $\eta = \eta, \eta'$ ):

$$\begin{aligned} \mathcal{H}_\mu &= V_\mu \left( T_\gamma(q^2, s) + \sum_{V=\rho, \rho'} T_V(q^2, s) \right), \\ V_\mu &= p_\eta^\alpha p_{\pi^+}^\beta p_{\pi^-}^\gamma \varepsilon_{\mu\alpha\beta\gamma}. \end{aligned} \quad (47)$$

Соответствующие фейнмановские диаграммы представлены на рис. 15 и 16,

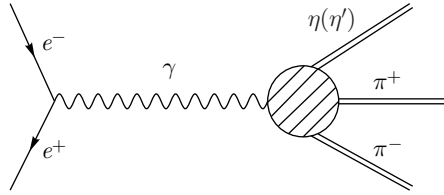


Рис. 15. Фейнмановская диаграмма с промежуточным фотоном. Заштрихованный круг обозначает сумму двух поддиаграмм (см. рис. 17, 18)

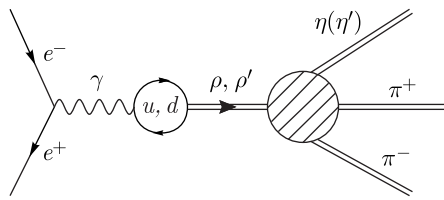


Рис. 16. Фейнмановская диаграмма с промежуточными векторными мезонами  $\rho(770)$  и  $\rho(1450)$

их вклады равны

$$\begin{aligned} T_\gamma(q^2, s) &= \sum_{i=1}^2 g_{\pi_i} \chi_{\eta}^i \left( T_{\square}^{(i-1)}(s) + T_{\triangle}^{(i-1)}(s) \right), \\ T_V(q^2, s) &= \frac{(C_\gamma V/g_{V_1}) q^2}{m_V^2 - q^2 - i\sqrt{q^2} \Gamma_V(q^2)} \times \\ &\quad \times \sum_{i=1}^2 \sum_{j=1}^2 g_{\pi_i} \chi_{\eta}^i g_{V_j} \chi_V^j \left( T_{\square}^{(i+j-2)}(s) + T_{\triangle}^{(i+j-2)}(s) \right). \end{aligned} \quad (48)$$

Для упрощения формул мы ввели обозначения для часто встречающихся комбинаций углов смешивания:

$$\begin{aligned} \chi_\pi &= \frac{1}{\sin(2\alpha_0)} \begin{pmatrix} \sin(\alpha + \alpha_0) \\ \sin(\alpha - \alpha_0) \end{pmatrix}, \\ \chi_\eta &= \begin{pmatrix} 0,71 \\ 0,11 \end{pmatrix}, \quad \chi_{\eta'} = \begin{pmatrix} -0,32 \\ -0,48 \end{pmatrix}, \\ \chi_\rho &= \frac{1}{\sin(2\beta_0)} \begin{pmatrix} \sin(\beta + \beta_0) \\ \sin(\beta - \beta_0) \end{pmatrix}, \\ \chi_{\rho'} &= -\frac{1}{\sin(2\beta_0)} \begin{pmatrix} \cos(\beta + \beta_0) \\ \cos(\beta - \beta_0) \end{pmatrix}. \end{aligned} \quad (49)$$

Вершины  $\gamma\eta\pi\pi$  и  $V\eta\pi\pi$  содержат сумму двух вкладов:

$$\begin{aligned} T_{\square}^{(n)}(s) &= -24F_{\pi}g_{\pi}^3I_4^{(n)}, \\ T_{\triangle}^{(n)}(s) &= 16F_{\pi}g_{\pi}\sum_{V=\rho,\rho'}\frac{g_{V\rightarrow\pi\pi}}{m_V^2-s-i\sqrt{s}\Gamma_V(s)}\sum_{i=1}^2g_{\rho_i}\chi_V^iI_3^{(n+i-1)} \approx \quad (50) \\ &\approx 16F_{\pi}g_{\pi}\frac{g_{\rho\rightarrow\pi\pi}}{m_{\rho}^2-s-i\sqrt{s}\Gamma_{\rho}(s)}\sum_{i=1}^2g_{\rho_i}\chi_{\rho}^iI_3^{(n+i-1)}. \end{aligned}$$

Вклад  $T_{\square}^{(n)}(s)$  соответствует так называемой кварковой диаграмме типа бокса аномального типа (рис. 17). Вклад  $T_{\triangle}^{(n)}(s)$  происходит из учета двух треугольных кварковых петель, соединенных виртуальным векторным мезоном (рис. 18). Мы пренебрели вкладом промежуточного мезона  $\rho(1450)$  в  $T_{\triangle}^{(n)}(s)$ , поскольку он сильно подавлен по отношению ко вкладу  $\rho(770)$  за счет кинематики и малой парциальной ширины распада  $\rho(1450)\rightarrow 2\pi$  (см. [8]).

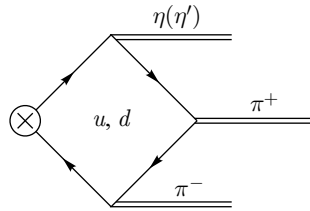


Рис. 17. Вершинная поддиаграмма  $V\eta\pi\pi$  с кварковой петлей типа бокса

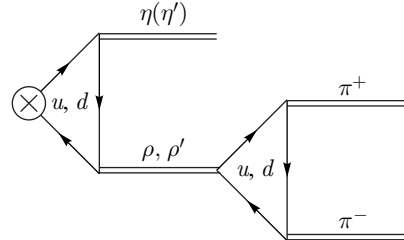


Рис. 18. Вершинная поддиаграмма  $V\eta\pi\pi$  с двумя треугольными кварковыми петлями

Поскольку  $g_{\pi_1}\chi_{\pi}^1 \gg g_{\pi_2}\chi_{\pi}^2 \approx 0$ , мы пренебрегаем вкладами, содержащими формфактор в пионных вершинах, подобно тому, как это делалось в вычислениях других процессов:

$$\prod_{i=1}^n \sum_{j=1}^2 g_{\pi_j}\chi_{\pi}^j T_{\text{non-}\pi}^{(k)} I_{n+k}^{(k+i-j-i)} \Big|_{g_{\pi_2}\chi_{\pi}^2 \rightarrow 0} = g_{\pi_1}^n T_{\text{non-}\pi}^{(k)} I_{n+k}^{(k)}. \quad (51)$$

Вторая треугольная диаграмма (см. рис. 18) рассчитана в рамках расширенной модели НИЛ в работе [8]:

$$g_{V \rightarrow \pi\pi} \approx g_{\rho_1} \chi_V^1 + g_{\rho_2} \chi_V^2 \frac{I_2^{(1)}}{I_2^{(0)}}. \quad (52)$$

Переход фотона в векторные мезоны ( $\rho, \rho'$ ) описывается множителем

$$C_{\gamma V} = \chi_V^1 + \chi_V^2 \frac{I_2^{(1)}}{\sqrt{I_2^{(0)} I_2^{(2)}}}. \quad (53)$$

Здесь мы используем фиксированное значение для ширины основного состояния  $\rho(770)$ , равное  $\Gamma_\rho = 147,8$  МэВ и зависящее от энергии [41] для  $\rho(1450)$ :

$$\Gamma_\rho(s) = \Gamma_\rho, \quad (54)$$

$$\begin{aligned} \Gamma_{\rho'}(s) = & \Theta(2m_\pi - \sqrt{s}) \Gamma_{\rho' \rightarrow 2\pi} + \\ & + \Theta(\sqrt{s} - 2m_\pi) \left( \Gamma_{\rho' \rightarrow 2\pi} + \Gamma_{\rho' \rightarrow \omega\pi} \frac{\sqrt{s} - 2m_\pi}{m_\omega - m_\pi} \right) \Theta(m_\omega + m_\pi - \sqrt{s}) + \\ & + \Theta(m_{\rho'} - \sqrt{s}) \Theta(\sqrt{s} - m_\omega - m_\pi) \left( \Gamma_{\rho' \rightarrow 2\pi} + \Gamma_{\rho' \rightarrow \omega\pi} + \right. \\ & \left. + (\Gamma_{\rho'} - \Gamma_{\rho' \rightarrow 2\pi} - \Gamma_{\rho' \rightarrow \omega\pi}) \frac{\sqrt{s} - m_\omega - m_\pi}{m_{\rho'} - m_\omega - m_\pi} \right) + \\ & + \Theta(\sqrt{s} - m_{\rho'}) \Gamma_{\rho'}(m_{\rho'}^2), \end{aligned} \quad (55)$$

где полная ширина распада на массовой поверхности  $\Gamma_{\rho'}(m_{\rho'}^2) = 400$  МэВ [17]. Величины  $\Gamma(\rho' \rightarrow 2\pi) = 22$  МэВ и  $\Gamma(\rho' \rightarrow \omega\pi^0) = 75$  МэВ рассчитаны в работе [8].

Полное сечение процесса принимает вид

$$\sigma(q^2) = \frac{\alpha^2}{192\pi q^6} \int_{s_-}^{s_+} ds \int_{t_-}^{t_+} dt |T(q, s, t)|^2, \quad (56)$$

где  $s = (p_\eta + p_{\pi^+})^2$ ,  $t = (p_\eta + p_{\pi^-})^2$  и пределы интегрирования определены как

$$\begin{aligned} t_\mp &= \frac{1}{4s} \left( [q^2 + m_\eta^2 - 2m_\pi^2]^2 - [\lambda^{1/2}(q^2, s, m_\pi^2) \pm \lambda^{1/2}(m_\eta^2, m_\pi^2, s)]^2 \right), \\ s_- &= (m_\eta + m_\pi)^2, \quad s_+ = (\sqrt{q^2} - m_\pi)^2, \\ \lambda(a, b, c) &= (a - b - c)^2 - 4bc. \end{aligned} \quad (57)$$

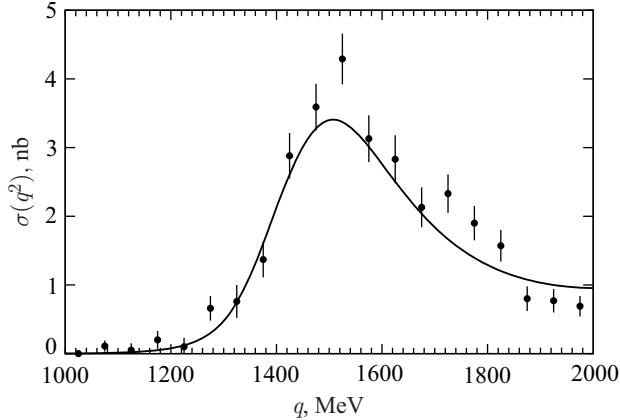


Рис. 19. Сравнение предсказаний расширенной модели НИЛ с экспериментальными результатами коллаборации BaBar [46] для процесса  $e^+e^- \rightarrow \eta 2\pi$

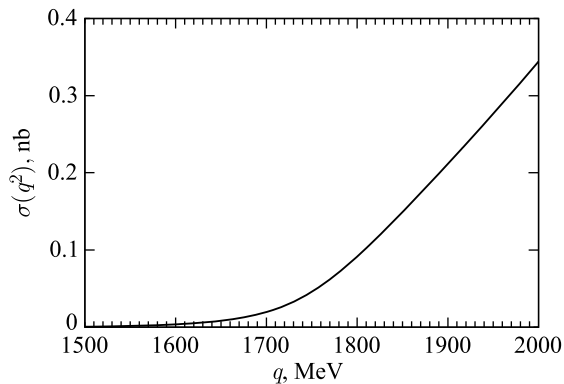


Рис. 20. Предсказания расширенной модели НИЛ для сечения процесса  $e^+e^- \rightarrow \eta' 2\pi$

Численные результаты для зависимости величины сечения от энергии приведены на рис. 19 и 20.

Полученные результаты показывают, что расширенная модель НИЛ позволяет описывать зависимость полного сечения процесса  $e^+e^- \rightarrow \eta 2\pi$  в удовлетворительном согласии с экспериментальными данными при значениях энергии до 2 ГэВ. Это позволяет рассчитывать на разумность полученных нами предсказаний для процесса  $e^+e^- \rightarrow \eta' 2\pi$  в этой же области энергии.

Одна из первых попыток теоретической интерпретации экспериментальных данных для процесса  $e^+e^- \rightarrow \eta 2\pi$  представлена в работе [45]. В ней использована обобщенная модель векторной доминантности с учетом промежуточных мезонов  $\rho(770)$ ,  $\rho(1450)$  и  $\rho(1700)$ . Отметим, что при этом вводи-

лось несколько дополнительных произвольных параметров, которые фитировались по экспериментальным данным. Кроме того, принималась во внимание только структура с двумя треугольными диаграммами. Важно также отметить, что результаты фитирования данных указали на численную незначительность вклада второго радиально-возбужденного состояния  $\rho(1700)$ .

В работе [47] использовалась резонансная киральная теория. Эта модель также содержит большое количество произвольных свободных параметров. Однако в данной работе не был учтен вклад промежуточного состояния мезона  $\rho(1450)$ , который, очевидно, играет существенную роль в обсуждаемой области энергии. Позднее в работе [48] в рамках той же модели были учтены промежуточные состояния мезонов  $\rho(770)$ ,  $\rho(1450)$  и  $\rho(1700)$  с использованием дополнительных произвольных параметров. В этой работе также было показано, что вклад  $\rho(1700)$  незначителен.

### ЗАКЛЮЧЕНИЕ

Представленные в данной работе примеры описания процессов рождения мезонов на встречных электрон-позитронных пучках показывают, что расширенная модель Намбу–Иона–Лазинио позволяет не только удовлетворительно описать известные экспериментальные данные без введения каких-либо дополнительных параметров, но и сделать ряд предсказаний для будущих экспериментов. Тем самым используемая нами модель выгодно отличается от многих прочих феноменологических моделей, предложенных другими авторами. В области энергии от 1 до 2 ГэВ модель НИЛ не может претендовать на особо высокую точность, однако она дает достаточно хорошее описание широкого класса физических процессов с участием мезонов.

Расширенная модель НИЛ также позволяет описать основные полулептонные моды распадов  $\tau$ -лептонов. Подчеркнем, что и здесь можно обойтись без введения дополнительных произвольных параметров. Механизм построения амплитуд этих распадов очень близок к тому, что использовался при вычислении сечений описанных выше процессов электрон-позитронной аннигиляции. Роль промежуточных фотонов в распадах  $\tau$ -лептонов будут играть  $W^\pm$ -бозоны, которые могут порождать заряженные промежуточные векторные мезоны как в основном, так и в первом радиально-возбужденном состояниях. Важно отметить, что поскольку масса  $\tau$ -лептона равна 1777 МэВ, то роль более высоких радиально-возбужденных промежуточных состояний здесь весьма незначительна. Поэтому следует ожидать, что расширенная модель НИЛ, учитывающая именно основные и первые радиально-возбужденные состояния мезонов, должна давать вполне удовлетворительные теоретические предсказания для основных полулептонных мод распадов  $\tau$ -лептонов. Действительно, это подтверждается рядом вычислений парциальных ширин и

дифференциальных распределений для мод распадов со следующими конечными состояниями:

- 1)  $\tau \rightarrow \nu_\tau \pi, \nu_\tau \pi(1300)$  [50];
- 2)  $\tau \rightarrow \nu_\tau \rho, \nu_\tau \rho(1450)$  [51];
- 3)  $\tau \rightarrow \nu_\tau K^*(892), \nu_\tau K^*(1410)$  [51];
- 4)  $\tau \rightarrow \nu_\tau \pi\pi, \nu_\tau \pi\pi(1300)$  [52];
- 5)  $\tau \rightarrow \nu_\tau \eta\pi, \nu_\tau \eta'\pi$  [53];
- 6)  $\tau \rightarrow \nu_\tau \omega\pi$  [29];
- 7)  $\tau \rightarrow \nu_\tau f_1\pi$  [54];
- 8)  $\tau \rightarrow \nu_\tau \eta\pi\pi, \nu_\tau \eta'\pi\pi$  [49].

В более ранних работах в рамках стандартной модели НИЛ также описаны распады  $\tau \rightarrow 3\pi\nu_\tau$  [55] и  $\tau \rightarrow \pi\gamma\nu_\tau$  [56]. В дальнейшем мы собираемся описать ряд распадов  $\tau$ -лептонов с рождением странных мезонов с использованием расширенной модели НИЛ.

В настоящее время процессы с участием  $\tau$ -лептонов активно изучаются как на электрон-позитронных, так и на адронных ускорителях, включая Большой адронный коллайдер. Поэтому теоретическое изучение различных мод распадов  $\tau$ -лептонов является актуальной задачей современной физики частиц.

**Благодарности.** Авторы выражают благодарность соавторам работ, по которым написан данный обзор.

#### СПИСОК ЛИТЕРАТУРЫ

1. *Ebert D., Volkov M. K. Composite Meson Model with Vector Dominance Based on  $U(2)$  Invariant Four Quark Interactions* // Z. Phys. C. 1983. V. 16. P. 205.
2. *Volkov M. K. Meson Lagrangians in a Superconductor Quark Model* // Ann. Phys. 1984. V. 157. P. 282.
3. *Волков М. К. Низкоэнергетическая физика мезонов в кварковой модели сверхпроводящего типа* // ЭЧАЯ. 1986. Т. 17, вып. 3. С. 433–471 (Sov. J. Part. Nucl. 1986. V. 17. P. 186).
4. *Ebert D., Reinhardt H. Effective Chiral Hadron Lagrangian with Anomalies and Skyrme Terms from Quark Flavor Dynamics* // Nucl. Phys. B. 1986. V. 271. P. 188.
5. *Klevansky S. P. The Nambu–Jona-Lasinio Model of Quantum Chromodynamics* // Rev. Mod. Phys. 1992. V. 64. P. 649.
6. *Volkov M. K., Weiss C. A Chiral Lagrangian for Excited Pions* // Phys. Rev. D. 1997. V. 56. P. 221–229.
7. *Волков М. К. Псевдоскалярные и векторные возбужденные мезоны в киральной  $U(3) \times U(3)$  модели* // ЯФ. 1997. Т. 60, вып. 11. С. 2094–2103 (Volkov M. K. Excited Pseudoscalar and Vector Mesons in the  $U(3) \times U(3)$  Chiral Model // Phys. At. Nucl. 1997. V. 60. P. 1920–1929).

8. Volkov M. K., Ebert D., Nagy M. Excited Pions, Rho and Omega Mesons and Their Decays in a Chiral  $SU(2) \times SU(2)$  Lagrangian // Intern. J. Mod. Phys. A. 1998. V. 13. P. 5443.
9. Волков М. К., Юдичев В. Л. Радиально-возбужденные скалярные, псевдоскалярные и векторные нонеты мезонов в киральной кварковой модели // ЭЧАЯ. 2000. Т. 31, вып. 3. С. 576–633 (Phys. Part. Nucl. 2000. V. 31. P. 282).
10. Волков М. К., Раджабов А. Е. Модель Намбу–Иона–Лазинио и ее развитие // УФН. 2006. Т. 176. С. 569–580 (Phys. Usp. 2006. V. 49. P. 551).
11. Волков М. К., Юдичев В. Л. Радиальные возбуждения скалярных и  $\eta$ - и  $\eta'$ -мезонов в киральной кварковой модели // ЯФ. 2000. Т. 63. С. 1924 (Volkov M. K., Yudichev V. L. Radial Excitations of Scalar and Eta, Eta-prime Mesons in a Chiral Quark Model // Phys. At. Nucl. 2000. V. 63. P. 1835).
12. Arbuzov A. B., Kuraev E. A., Volkov M. K. Processes  $e^+e^- \rightarrow \pi^0(\pi^{0'})\gamma$  in the NJL Model // Eur. Phys. J. A. 2011. V. 47. P. 103.
13. Dolinsky S. I. et al. Summary of Experiments with the Neutral Detector at the  $e^+e^-$  Storage Ring VEPP-2M // Phys. Rep. 1991. V. 202. P. 99.
14. Achasov N. N., Kozhevnikov A. A. Decays of Phi Meson Suppressed by OZI and G Parity. Role of Mixing and of Direct Transitions // Intern. J. Mod. Phys. A. 1992. V. 7. P. 4825.
15. Achasov M. N. et al. Experimental Study of the  $e^+e^- \rightarrow \pi^0\gamma$  Process in the Energy Region  $s^{1/2} = 0.60\text{--}0.97$  GeV // Phys. Lett. B. 2003. V. 559. P. 171.
16. Gronau M., Rosner J. L.  $\omega - \phi$  Mixing and Weak Annihilation in  $D(s)$  Decays // Phys. Rev. D. 2009. V. 79. P. 074006.
17. Olive K. A. et al. (Particle Data Group Collab.). Review of Particle Physics // Chin. Phys. C. 2014. V. 38. P. 090001.
18. Achasov M. N. et al. Experimental Study of the Processes  $e^+e^- \rightarrow \phi \rightarrow \eta\gamma, \pi^0\gamma$  at VEPP-2M // Eur. Phys. J. C. 2000. V. 12. P. 25.
19. Bisello D. et al. (DM2 Collab.).  $e^+e^-$  Annihilation into Multi-hadrons in the 1350-MeV–2400-MeV Energy Range // Nucl. Phys. Proc. Suppl. 1991. V. 21. P. 111.
20. Achasov M. N. et al. The Process  $e^+e^- \rightarrow \omega\pi^0 \rightarrow \pi^0\pi^0\gamma$  up to 1.4-GeV // Phys. Lett. B. 2000. V. 486. P. 29.
21. Akhmetshin R. R. et al. (CMD-2 Collab.). Study of the Process  $e^+e^- \rightarrow \omega\pi^0 \rightarrow \pi^0\pi^0\gamma$  in c.m. Energy Range 920–1380 MeV at CMD-2 // Phys. Lett. B. 2003. V. 562. P. 173.
22. Gerasimov S. B., Govorkov A. B. Radial Excitations of  $\rho^-$  and  $\pi$  Mesons and Their Strong Decays // Z. Phys. C. 1982. V. 13. P. 43.
23. Close F. E., Donnachie A., Kalashnikova Yu. S. Radiative Decays of Excited Vector Mesons // Phys. Rev. D. 2002. V. 65. P. 092003.
24. Li G., Zhang Y. J., Zhao Q. Study of Isospin Violating  $\phi$  Excitation in  $e^+e^- \rightarrow \omega\pi^0$  // J. Phys. G. 2009. V. 36. P. 085008.
25. Ambrosino F. et al. (KLOE Collab.). Study of the Process  $e^+e^- \rightarrow \omega\pi^0$  in the  $\phi$ -Meson Mass Region with the KLOE Detector // Phys. Lett. B. 2008. V. 669. P. 223–228.
26. Edwards K. W. et al. (CLEO Collab.). Resonant Structure of  $\tau \rightarrow 3\pi\pi^0\nu/\tau$  and  $\tau \rightarrow \omega\pi\nu/\tau$  Decays // Phys. Rev. D. 2000. V. 61. P. 072003.
27. Kittimanapun K. et al. Investigation of Reaction Electron–Positron to  $\omega$  and  $\pi$  Mesons in Quark Model // Phys. Rev. C. 2009. V. 79. P. 025201.

28. Arbuzov A. B., Kuraev E. A., Volkov M. K. Production of  $\omega\pi^0$  Pair in Electron–Positron Annihilation // Phys. Rev. C. 2011. V. 83. P. 048201.
29. Volkov M. K., Arbuzov A. B., Kostunin D. G. The Decay  $\tau \rightarrow \pi\omega\nu$  in the Extended NJL Model // Phys. Rev. D. 2012. V. 86. P. 057301.
30. Achasov M. N. et al. A Scenario for High Accuracy  $\tau$  Mass Measurement at BEPC-II // Chin. Phys. C. 2012. V. 36. P. 573.
31. Ахмедов А. И., Кураев Э. А., Волков М. К. Рождение  $\pi^0\rho^0$ -пары в электрон–позитронной аннигиляции в модели Намбу–Йона–Лазинио // Письма в ЭЧАЯ. 2012. Т. 9, № 6–7. С. 756 (Phys. Part. Nucl. Lett. 2012. V. 9. P. 461).
32. Achasov M. N. et al. Study of the  $e^+e^- \rightarrow \eta\gamma$  Process with SND Detector at the VEPP-2M  $e^+e^-$  Collider // Phys. Rev. D. 2006. V. 74. P. 014016.
33. Ahmadov A. I., Kostunin D. G., Volkov M. K. Processes of  $e^+e^- \rightarrow [\eta, \eta', \eta(1295), \eta(1475)]\gamma$  in the Extended Nambu–Jona–Lasinio Model // Phys. Rev. C. 2013. V. 87. P. 045203; Erratum // Phys. Rev. C. 2014. V. 89. P. 039901.
34. Achasov M. N. et al. Study of the Process  $e^+e^- \rightarrow \pi^+\pi^-$  in the Energy Region  $400 < s^{1/2} < 1000$  MeV // ЖЭТФ. 2005. Т. 101. С. 1201 (J. Exp. Theor. Phys. 2005. V. 101. P. 1053).
35. Gounaris G. J., Sakurai J. J. Finite Width Corrections to the Vector Meson Dominance Prediction for  $\rho \rightarrow e^+e^-$  // Phys. Rev. Lett. 1968. V. 21. P. 244.
36. Kuhn J. H., Santamaria A.  $\tau$  Decays to Pions // Z. Phys. C. 1990. V. 48. P. 445.
37. O'Connell H. B. et al.  $\rho$ – $\omega$  Mixing, Vector Meson Dominance and the Pion Form-Factor // Prog. Part. Nucl. Phys. 1997. V. 39. P. 201.
38. Dominguez C. A. et al. Pion Form-Factor in the Kroll–Lee–Zumino Model // Phys. Rev. D. 2007. V. 76. P. 095002.
39. Jegerlehner F., Szafron R.  $\rho^0$ – $\gamma$  Mixing in the Neutral Channel Pion Form Factor  $F_\pi^e$  and Its Role in Comparing  $e^+e^-$  with  $\tau$  Spectral Functions // Eur. Phys. J. C. 2011. V. 71. P. 1632.
40. Achasov N. N., Kozhevnikov A. A. Electromagnetic Form Factor of Pion in the Field Theory Inspired Approach // Phys. Rev. D. 2011. V. 83. P. 113005; Erratum // Phys. Rev. D. 2012. V. 85. P. 019901.
41. Volkov M. K., Kostunin D. G. The Processes  $e^+e^- \rightarrow \pi\pi(\pi')$  in the Extended NJL Model // Phys. Rev. C. 2012. V. 86. P. 025202.
42. Cordier A. et al. (DM1 Collab.). Cross-Section of the Reaction  $e^+e^- \rightarrow \pi^+\pi^-\pi^0$  For Center-of-Mass Energies from 750 to 1100-MeV // Nucl. Phys. B. 1980. V. 172. P. 13.
43. Antonelli A. et al. (DM2 Collab.). Measurement of the Reaction  $e^+e^- \rightarrow \eta\pi^+\pi^-$  in the Center-of-Mass Energy Interval 1350 to 2400 MeV // Phys. Lett. B. 1988. V. 212. P. 133.
44. Druzhinin V. P. et al. (ND Collab.). Investigation of the Reaction  $e^+e^- \rightarrow \eta\pi^+\pi^-$  in the Energy Range up to 1.4 GeV // Phys. Lett. B. 1986. V. 174. P. 115.
45. Akhmetshin R. R. et al. (CMD-2 Collab.). Study of the Process  $e^+e^- \rightarrow \pi^+\pi^-\pi^+\pi^-\pi^0$  with CMD-2 Detector // Phys. Lett. B. 2000. V. 489. P. 125.
46. Aubert B. et al. (BaBar Collab.). The  $e^+e^- \rightarrow 2(\pi^+\pi^-)\pi^0$ ,  $2(\pi^+\pi^-)\eta$ ,  $K^+K^-\pi^+\pi^-\pi^0$  and  $K^+K^-\pi^+\pi^-\eta$  Cross Sections Measured with Initial-State Radiation // Phys. Rev. D. 2007. V. 76. P. 092005; Erratum // Phys. Rev. D. 2008. V. 77. P. 119902.

- 
47. *Dumm D. G., Roig P.* Resonance Chiral Lagrangian Analysis of  $\tau^- \rightarrow \eta^{(\prime)}\pi^-\pi^0\nu_\tau$  Decays // Phys. Rev. D. 2012. V. 86. P. 076009.
  48. *Dai L. Y., Portoles J., Shekhtovtsova O.* Three Pseudoscalar Meson Production in  $e^+e^-$  Annihilation // Phys. Rev. D. 2013. V. 88. P. 056001.
  49. *Volkov M. K., Arbuzov A. B., Kostunin D. G.* The  $e^+e^- \rightarrow \eta(\eta')2\pi$  Process in the Extended Nambu–Jona-Lasinio Model // Phys. Rev. C. 2014. V. 89. P. 015202.
  50. *Ahmadov A. I., Volkov M. K.* The Decays  $\tau \rightarrow (\pi, \pi')\nu_\tau$  in the Nambu–Jona-Lasinio Model // Part. Nucl., Lett. 2015. V. 12, No. 6(197). P. 1153–1163.
  51. *Ahmadov A. I., Kalinovsky Yu. L., Volkov M. K.* Decays of  $\tau \rightarrow \rho(770)(\rho'(1450))\nu_\tau$  and  $\tau \rightarrow K^*(892)(K^{*\prime}(1410))\nu_\tau$  in the Extended Nambu–Jona-Lasinio Model // Intern. J. Mod. Phys. A. 2015. V. 30, No. 26. P. 1550161.
  52. *Volkov M. K., Kostunin D. G.*  $\tau^- \rightarrow \pi^-\pi^0\nu_\tau$  Decay in the Extended NJL Model // Part. Nucl., Lett. 2013. V. 10, No. 1(178). P. 18–23.
  53. *Volkov M. K., Kostunin D. G.* The Decays  $\rho^- \rightarrow \eta\pi^-$  and  $\tau^- \rightarrow \eta(\eta')\pi^-\nu$  in the NJL Model // Phys. Rev. D. 2012. V. 86. P. 013005.
  54. *Vishneva A. V., Volkov M. K., Kostunin D. G.* The Decay  $\tau \rightarrow f_1\pi\nu_\tau$  in the Nambu–Jona-Lasinio Model // Eur. Phys. J. A. 2014. V. 50. P. 137.
  55. *Ivanov Yu. P., Osipov A. A., Volkov M. K.* The Decay  $\tau \rightarrow 3\pi\nu_\tau$  and Characteristics of A1 Meson // Z. Phys. C. 1991. V. 49. P. 563–568.
  56. *Ivanov Yu. P., Osipov A. A., Volkov M. K.* Radiative Decay  $\tau \rightarrow \nu_\tau\pi\gamma$  // Phys. Lett. B. 1990. V. 242. P. 498–502.